

## ПОЛУЧЕНИЕ СИЛЬНЫХ ТОРОИДАЛЬНЫХ ПОЛЕЙ СЖАТИЕМ МАГНИТНОГО ПОТОКА

*С. Г. Алиханов, В. Г. Белан*

(*Новосибирск*)

Описывается эксперименты по получению мегагауссовых тороидальных магнитных полей сжатием потока. Экспериментально показана возможность усиления поля более чем в 20 раз. Результаты, полученные в экспериментах, сравниваются с расчетами.

Ранее было экспериментально показано, что при сжатии продольного магнитного поля лайнером, ускоряемым также магнитным давлением, можно получить устойчивое движение и хорошую симметрию схлопывания [1-3]. Эти условия являются необходимыми для эффективного усиления поля.

Однако с точки зрения возможности удержания и нагрева плазмы магнитным полем необходима конфигурация с замкнутыми силовыми линиями. С этой целью была рассмотрена возможность усиления тороидального поля сжатием магнитного потока.

Принцип работы такой системы нетрудно понять из схемы, приведенной на фиг. 1. Металлическое кольцо 6 движется со скоростью  $v$  между двумя коаксиальными цилиндрами таким образом, чтобы в процессе движения между кольцом и цилиндром в месте скольжения осуществлялся надежный электрический контакт.

При этом магнитное поле  $H_\varphi$  будет находиться в замкнутом сжимающемся объеме. Если предположить, что в процессе сжатия выполняется условие  $LI = \text{const}$  (для сжимающегося контура), то напряженность магнитного поля будет возрастать в процессе сжатия

$$H = L_0 H_0 / L$$

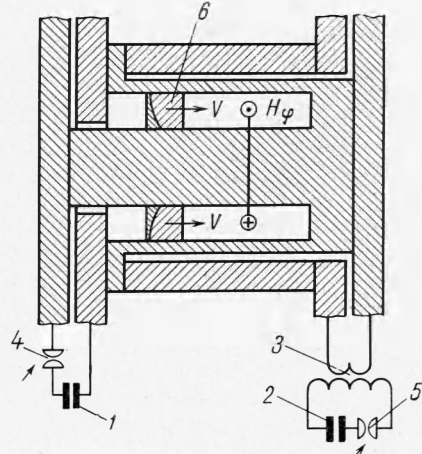
Отсюда видно, что в случае движения кольца между цилиндрами для получения достаточно большого коэффициента сжатия при конечной длине порядка нескольких миллиметров необходимо, чтобы длина участка сжатия  $l_0$  была  $\sim 5-10 \text{ см}$ .

Ускорение кольца производилось азимутальным магнитным полем.

Благодаря большому времени диффузии по сравнению с временем сжатия проникновением ускоряющего магнитного поля в объем сжатия можно пренебречь. Ввиду того что ускоряющее и тормозящее магнитное давление зависит от радиуса

$$p_H \sim r^{-2}$$

то для получения однородности движения необходимо обеспечить такое же распределение массы кольца.



Фиг. 1

Однако в пристеночной области из-за наличия трения условие одинаковости ускорения практически соблюсти невозможно. Поэтому возможно возникновение неуравновешенных сил, приводящих к опрокидыванию кольца. Такое явление действительно наблюдалось в экспериментах при малой толщине кольца ( $\sim 1.5 \text{ мм}$ ) и большом пути движения. Поэтому для стабилизации движения толщина кольца была выбрана достаточно большой. При этом движение стабилизируется благодаря механическим усилиям, возникающим в материале кольца.

В экспериментах применялись биметаллические (медь и алюминий, сваренные методом диффузионной сварки) кольца. Типичные размеры кольца: наружный диаметр 77 мм, внутренний диаметр 63 мм, толщина 7 мм, масса 40 г.

Ускоряющее магнитное поле создается разрядом конденсаторной батареи 1 емкостью  $42 \cdot 10^{-3} \text{ ф}$  при напряжении 5—5.5 кв через систему разрядников 4. Конструкция батареи и системы коммутации аналогичны описаным в работе [2]. Начальная индуктивность разрядного контура  $L_0 = 1.4 \cdot 10^{-8} \text{ гн}$ , активное сопротивление  $R = 2 \cdot 10^{-4} \text{ ом}$ .

Экспериментально было выяснено, что движение между цилиндрическими поверхностями не обеспечивало хорошего электрического контакта с кольцом, поэтому в дальнейших экспериментах цилиндры были заменены конусами с углом наклона образующей к оси  $\sim 1^\circ$ . В экспериментах применялись конуса длиной 5 см, в некоторых опытах использовались конуса длиной 10 см, но из-за вдвое больших потерь энергии на трение максимальная величина полученных полей в этом случае несколько ниже. Для уменьшения коэффициента трения поверхности конусов покрывались тонким слоем олова ( $\delta \sim 10^{-2} \text{ мм}$ ). Начальное магнитное поле создавалось током разряда дополнительной конденсаторной батареи 2 емкостью  $5 \cdot 10^{-3} \text{ ф}$ . В замкнутый объем сжатия поле проникало благодаря значительно меньшему времени диффузии ( $t \sim 300 \text{ мсек}$ ) по сравнению с периодом разряда. Согласование низкоомной нагрузки с разрядной цепью осуществлялось с помощью трансформатора тока 3.

Конструктивно трансформатор выполнялся в виде катушки (длина 35 см, диаметр 26 см, индуктивность  $5 \cdot 10^{-4} \text{ гн}$ ), навитой из 50 витков медной шины сечением  $4 \times 10 \text{ мм}^2$ . Для увеличения механической прочности обмотка запекалась в эпоксидной смоле. Поверх катушки накладывалась вторичная обмотка, свернутая из листа меди толщиной 8 мм. Индуктивность рассеивания трансформатора составляла  $10^{-4} \text{ гн}$  и вместе с индуктивностью подводов обеспечивала период разряда батареи  $T = 5 \text{ мсек}$ .

При напряжении на питающей конденсаторной батареи 10 кв трансформатор обеспечивал ток до  $1.2 \cdot 10^6 \text{ а}$  на активную нагрузку  $R \sim 5 \cdot 10^{-5} \text{ ом}$ . Начальное магнитное поле, измеряемое в объеме сжатия в разных экспериментах, варьировалось от 20—50 кгс.

Измерение поля в процессе сжатия производилось индукционными зондами. Зонд выполнялся из двух витков провода ПЭВ-1 0.15 мм, намотанного на каркас диаметром 1.0—1.5 мм. Четыре зонда, расположенные через  $90^\circ$ , укреплялись в конце объема сжатия так, чтобы разрушение зондов наступало тогда, когда движущееся кольцо проходило весь путь. Такое расположение зондов позволяло судить о равномерности движения всего кольца в процессе сжатия поля. Выводы от зондов пропускались через отверстия в наружном конусе. Один из зондов использовался также для измерения начального поля непосредственно перед началом процесса сжатия.

Результаты экспериментов сравниваются с численными расчетами, проведенными на ЭВМ «Минск-22». Расчеты проводились для случая движения кольца между цилиндрическими поверхностями. Рассматривалась

система, состоящая из емкости  $C$ , индуктивности  $L = L_0 + L(x)$  и активного сопротивления  $R$ . В момент времени  $t = 0$  емкость заряжена до напряжения  $U_0$ ,  $L = L_0$ . Уравнения, описывающие электрические процессы в контуре, после простых преобразований запишутся в виде

$$\frac{dI}{dt} = \frac{U_0 - q/C - RI - 2 \cdot 10^{-7} Ix \ln(r_2/r_1)}{L_0 + 2 \cdot 10^{-7} x \ln(r_2/r_1)}, \quad \frac{dq}{dt} = I \quad (1)$$

Здесь  $I$  — ток в контуре;  $x$  — путь, пройденный кольцом;  $r_1, r_2$  — радиусы внутреннего и наружного цилиндров;  $q$  — заряд.

К этим уравнениям добавим уравнения движения кольца под действием магнитного давления

$$\frac{dx}{dt^2} = \frac{\ln(r_2/r_1)}{m} \left[ I^2 - \frac{I_0^2 l_0^2}{(l_0 - x)^2} \right] - \frac{F}{m} \quad (2)$$

Здесь  $I_0$  — начальный ток,  $l_0$  — длина камеры сжатия,  $m$  — масса кольца,  $F$  — сила трения.

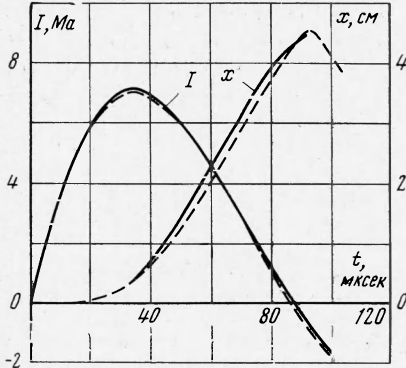
Сила трения оценивалась по формуле

$$F = k\sigma_b S$$

Здесь  $k$  — коэффициент трения,  $\sigma_b$  — предел прочности,  $S$  — площадь поверхности трения; все величины полагались постоянными во времени. В расчете коэффициент трения  $k = 0.2$ ,  $\sigma_b = 15 \text{ кг}/\text{мм}^2$  (для алюминия).

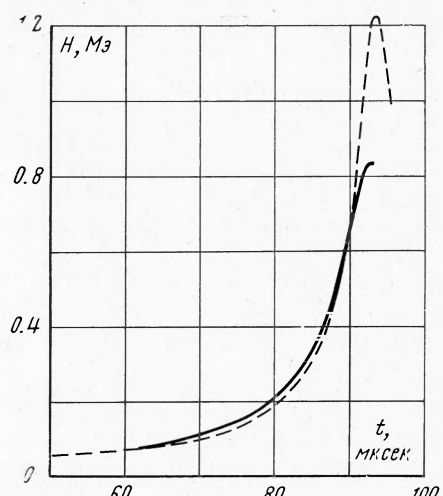
На фиг. 2 приводятся графики зависимости ускоряющего тока  $I$  и пути  $x$ , пройденного кольцом. Зависимость пути от времени получена после обработки сигналов магнитных зондов в предположении  $\Phi = \text{const}$ . Там же для сравнения нанесены расчетные кривые (пунктир). Примерно одинаковый ход расчетной и экспериментальной кривых до  $t = 80 \text{ мсек}$  ( $H = 250 \text{ кгс}$ ) позволяет предположить, что до таких полей условие  $\Phi = \text{const}$  в данном эксперименте довольно хорошо выполняется. Некоторое несовпадение кривых на этой стадии видимо объясняется неточностью определения параметров, влияющих на скорость движения, а также ошибкой измерения величины магнитного поля, которая составляет  $\sim 5\%$ . Сравнительно сильное различие в ходе кривых на последней стадии движения можно объяснить увеличением потерь, вследствие сильного нагревания током, контактных поверхностей и стенок камеры сжатия.

Сопоставление сигналов с четырех зондов показывает, что кольцо сохраняет плоскую форму во все моменты движения с точностью  $\sim 1 \text{ м.м.}$  В некоторых экспериментах при больших начальных полях происходила остановка кольца магнитными силами. При этом благодаря не очень высокой величине поля ( $H \simeq 250 \text{ кгс}$ ) и наличию значительного трения обратного движения не наблюдалось. Поэтому, по-видимому, кольцо сохранило ту форму, которую оно имело в момент остановки. Об остановке кольца свидетельствует наличие максимума поля и частично сохранившиеся от



Фиг. 2

разрушения магнитные зонды. При рассмотрении кольца видно, что та часть, которая двигалась против отверстия для выводов от зондов, несколько выступает вперед, так как из-за неоднородности поля в этом месте тормозящая сила меньше, чем на остальных участках.



Фиг. 3

На фиг. 3 приведена экспериментальная зависимость напряженности магнитного поля от времени, здесь же для сравнения нанесена расчетная кривая. Максимальная величина поля, зарегистрированная в эксперименте,  $H = 840 \text{ кгс}$ . В объеме  $\sim 4 \text{ см}^3$  скорость движения кольца достигает величины  $\sim 10^5 \text{ см/сек}$ .

В результате проведенных исследований показана возможность получения сильного магнитного поля в такой системе. В экспериментах удалось получить усиление поля более чем в 20 раз.

Показано также, что можно получить устойчивое движение с хорошей однородностью.

В заключение авторы благодарят Г. И. Будкера, за поддержку и постоянный интерес к работе, П. З. Чеботаева за помощь в проведении расчетов на ЭВМ, В. Н. Карабюка за конструирование установки, а также А. В. Кутовенко и П. Г. Зубова за участие в проведении экспериментов.

Поступила 8 VII 1969

#### ЛИТЕРАТУРА

- Спаге Е. С. Magnetic flux compression by magnetically imploded metallic foils. *J. Appl. Phys.*, 1966, vol. 37, No. 10.
- Алиханов С. Г., Белан В. Г., Будкер Г. И., Иванченко А. И., Кичигин Г. Н. Получение мегагауссных полей методом магнитогидродинамической кумуляции. Атомная энергия, 1967, т. 23, вып. 6.
- Alikhannov S. G., Belan V. G., Ivanchenko A. I., Karasjuk V. N., Kichigin G. N. The production of pulsed megagauss fields by compression of the metallic cylinder in Z-pinch configuration. *J. Sci. Instrum.*, 1968, vol. 1, Ser. 2, p. 543.